

超高效液相色谱-质谱联用法定量测定奶茶中的3种毒品成分

余晓琴^{1*}, 李澍才

(四川省食品药品检验检测院, 成都 610097)

摘要: 目的 建立超高效液相色谱质谱联用法测定奶茶中苯丙胺、甲基苯丙胺和氯胺酮的分析方法。

方法 样品经甲醇超声提取处理, 利用超高效液相色谱质谱联用法, 4.0 min 内完成样品的上机分析。**结果** 方法在 0.1~50.0 ng/mL 范围内, 线性良好, 相关系数 r 大于 0.999。仪器检出限在 0.008~0.027 ng/mL 之间, 定量限在 0.028~0.089 ng/mL 之间。三水平加标回收率在 80.7%~112.0% 之间。高浓度样品分析后, 3 种毒品无明显仪器残留。使用本方法分析市售奶茶样品, 未检出 3 种毒品。**结论** 本方法灵敏、快速、线性范围宽、选择性好、前处理简单, 适用于奶茶中 3 种毒品的准确定量检测。

关键词: 奶茶; 毒品; 超高效液相色谱法; 三重四极杆质谱法

Quantitative determination of 3 related narcotic substances in milk tea by ultra performance liquid chromatography-tandem mass spectrometry

YU Xiao-Qin*, LI Shu-Cai

(Sichuan Provincial Food and Drug Inspection Institute, Chengdu 610097, China)

ABSTRACT: Objective To establish a method for determining amphetamine, methamphetamine and ketamine in milk tea by ultra performance liquid chromatography-tandem mass spectrometry. **Methods** The sample was ultrasonically extracted by methanol, utilizing ultra performance liquid chromatography-mass spectrometry, the sample analysis of the sample was completed within 4.0 min. **Results** In the range of 0.1~50.0 ng/mL, the linearity was good, and the correlation coefficient r was greater than 0.999. The limit of detection of the instrument was in 0.008~0.027 ng/mL, and the limit of quantification was in 0.028~0.089 ng/mL. The recoveries rate of the 3 levels was in 80.7%~112.0%. After analyzing the high-concentration samples, there were no obvious instrument residues in the 3 drugs. The method was used to analyze commercially available milk tea samples, and the 3 drugs were not detected. **Conclusion** This method is sensitive, rapid, wide in linear range, good in selectivity, simple in pretreatment, and suitable for accurate quantitative detection of 3 drugs in milk tea.

KEY WORDS: milk tea; narcotic substances; ultra performance liquid chromatography; triple quadrupole mass spectrometry

*通讯作者: 余晓琴, 博士, 高级工程师, 主要研究方向为食品安全检测与标准研究。E-mail: 113343838@qq.com

*Corresponding author: YU Xiao-Qin, Ph.D, Senior Engineer, Sichuan Provincial Food and Drug Inspection Institute, No.8, Xinwen Road, Gaoxin District, Chengdu 610097, China. E-mail: 113343838@qq.com

1 引言

国家禁毒发布《2018 年中国毒品形势报告》中指出, 当前, 全球毒品制造、贩运、滥用问题更加突出, 毒品来源、种类和吸毒人数不断扩大, 一些国家和地区毒品问题持续泛滥, 毒品危害日益严重, 吸毒致死人数连年攀升, 造成严重社会危机。毒品市场花样多, 新类型毒品不断出现。为吸引消费者、迷惑公众, 一些毒贩不断翻新毒品花样, 变换包装形态, “神仙水”“娜塔沙”“0 号胶囊”等新类型毒品不断出现, 具有极强的伪装性、迷惑性和时尚性, 以青少年在娱乐场所滥用为主, 其中冰毒成为滥用“头号毒品”。并且随着现代生活节奏的加快, 很多年轻人热衷于酒吧, 迪厅、KTV 等消费场所, 并消费该场所的咖啡、饮料、奶茶等食品。常有警方发布预警, 提示喜欢去 KTV、酒吧等娱乐场所的消费者需注意, 将毒品掺入袋装咖啡和奶茶, 重新封装后, 在娱乐场所推销、诱骗客人尝试, 极具欺骗性和诱惑性。据调查, 我国苯丙胺类化合物的滥用非常严重^[1,2], 包括苯丙胺、甲基苯丙胺等, 并存在与氯胺酮混合使用, 具有兴奋中枢神经和周围神经, 抑制食欲、致幻等作用。近几年来, 该类现象不断上升, 严重时会导致死亡^[3]。目前检测方法有气相色谱法^[4~7]、气相色谱质谱联用法^[8~10]、液相色谱质谱联用法^[11~13]、高分辨率质谱法^[14]等方法, 大部分基于生物样本, 如血浆、尿液、头发等, 少量研究环境样品, 如水样等^[15,16]。而关于食品基质样品的检测少有报道, 因此急需建立快速、简便、灵敏、准确地同时分析食品中该类化合物的方法。本研究以奶茶为基质, 建立超高效液相色谱质谱联用法定量测定奶茶中的 3 种毒品的分析方法, 旨在为打击食品中非法添加提供技术支撑。

2 材料与方法

2.1 试剂与仪器

LC-30A 超高效液相色谱仪、LCMS-8050 串联质谱仪联用系统(日本岛津公司)。

Milli-R04 纯水仪(德国 Millipore 公司); 苯丙胺甲醇溶液(1.0 mg/mL, Sigma-Aldrich 公司); 甲基苯丙胺和氯胺酮甲醇溶液(1.0 mg/mL, 中国计量科学研究院公安部物证鉴定中心); 甲醇(色谱纯, 美国 Fisher 公司)。

2.2 实验方法

2.2.1 液相色谱条件

色谱柱: Shim-pack GIST(2.1 mm×50 mm, 2.0 μm, 日本岛津公司); 流动相: 0.1%(V/V)甲酸水溶液(A); 甲醇(B); 流速: 0.30 mL/min; 进样体积: 1 μL; 自动进样器样品盘温度: 室温; 柱温: 40 °C; 洗脱方式: 采用梯度洗脱, B 相初始浓度为 15%; 时间程序见表 1。

2.2.2 质谱条件

离子化模式: ESI, 正离子模式; 加热气: 10.0 L/min 空

气; 雾化气: 3.0 L/min 氮气干燥气: 10.0 L/min 氮气; 碰撞气: 270 kPa 氩气; 接口温度: 300 °C; DL 温度: 250 °C 加热模块温度: 400 °C; 扫描模式: 多反应监测(multi reaction monitor, MRM); 驻留时间: 50 ms; MRM 参数: 见表 2; 喷雾针距离: +1 mm。

表 1 梯度洗脱时间程序
Table1 Gradient elution time program

时间/min	模块	命令	比例
1.00	pumps	pump b conc.	50
1.20	column	cto.rvr	0*
2.00	pumps	pump b conc.	95
2.50	column	cto.rvr	1**
3.00	pumps	pump b conc.	95
3.01	pumps	pump b conc.	15
4.00	controller	stop	

注: *表示液相流路接入质谱; **表示液相流路接入废液。

2.2.3 样品处理方法

称取 0.1 g 样品, 加入 5 mL 甲醇, 超声提取 15 min, 4000 r/min 离心 5 min, 取适量上清液用 0.22 μm 有机系滤膜过滤, 上机分析。

2.2.4 基质标准曲线绘制

取阴性奶茶粉末, 按照 2.2.3 中的前处理方法处理, 得到空白基质提取液。以空白基质提取液将标准储备液逐级稀释为 0.1、0.2、0.5、1、2、5、10、20、50 ng/mL 的 9 个标准工作溶液。以浓度为横坐标, 峰面积为纵坐标, 外标法绘制标准曲线。

3 结果与分析

3.1 流动相条件优化

使用甲醇和水作为流动相, 3 种毒品均出现峰形分叉的现象。在水相中添加 0.1% 的甲酸, 3 种毒品峰形对称。故选择甲醇和 0.1% 甲酸水溶液作为流动相, 如图 1。流动相初始比例为 10% 甲醇水时, 50 ng/mL 标准样品分析完成后进样分析空白样品, 空白样品中检出氯胺酮, 表明氯胺酮有残留。将流动相初始比例提高为 15% 甲醇水时, 50 ng/mL 标准样品分析完成后进样分析空白样品, 氯胺酮无残留。故流动相初始比例确定为 15% 甲醇水。

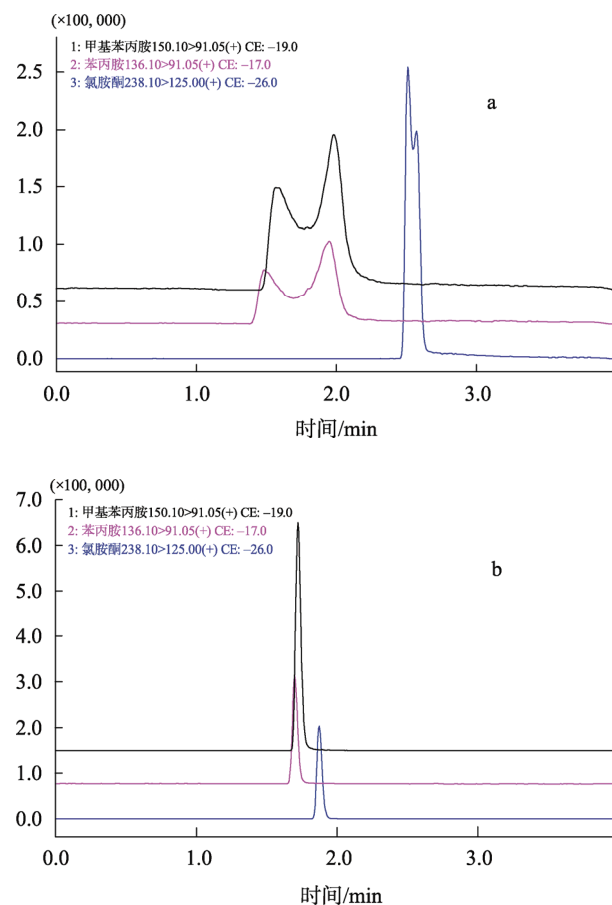
3.2 样品溶剂和进样量优化

以 10% 甲醇水溶液、50% 甲醇水溶液稀释样品提取溶液, 发现样品提取液变得浑浊, 而样品提取液(溶剂为纯甲醇)澄清, 故选择纯甲醇作为样品溶剂。分别以进样量 1、2、5 μL 进样分析纯甲醇配制的标准样品, 发现进样 5 μL 时, 峰形变差, 有明显的溶剂效应。又考虑到减小基质效应的影响, 故最终进样量定为 1 μL。

表 2 MRM 参数
Table 2 The MRM parameters

序号	中文名称	英文名称	CAS 号	前体离子	产物离子	Q1 预四极杆电压/V	碰撞电压/V	Q3 预四极杆电压/V
1	苯丙胺	amphetamine	300-62-9	136.10	91.05*	-14.0	-17.0	-19.0
					119.05	-14.0	-15.0	-25.0
2	甲基苯丙胺	methylamphetamine	537-46-2	150.10	91.05*	-10.0	-19.0	-18.0
					119.10	-10.0	-10.0	-24.0
3	氯胺酮	ketamine	6740-88-1	238.10	125.00*	-12.0	-26.0	-26.0
					179.10	-12.0	-39.0	-10.0

注: *代表定量离子对。



注: a: 流动相为甲醇和水; b: 流动相为甲醇和 0.1% 的甲酸水溶液。

图 1 流动相条件优化

Fig.1 Optimization of mobile phase conditions

3.3 专属性考察

通过分析甲醇溶剂空白和全程序空白, 考察方法专属性。全程序空白除不加样品外, 按照 2.2.3 中方法进行前处理。结果如图 2 所示。由图 2 可知, 溶剂空白和全程序空白均未检出 3 种毒品, 表明空白不干扰测定。

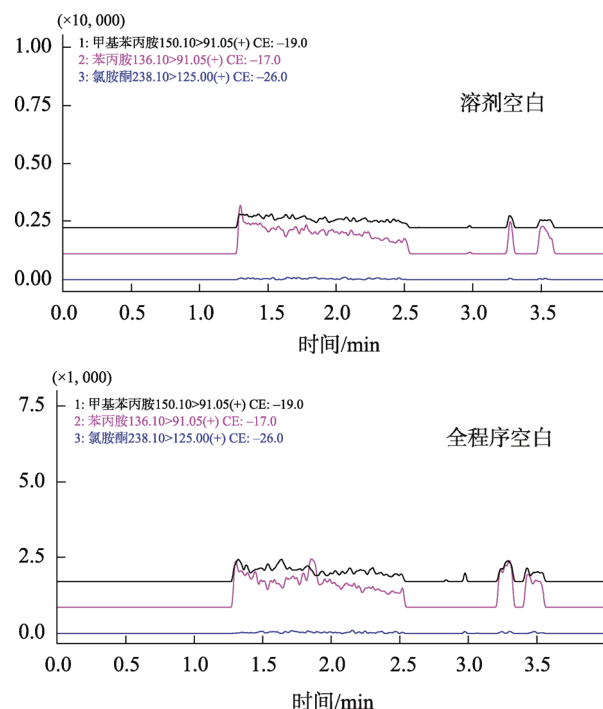


图 2 空白实验 MRM 色谱图
Fig.2 Blank experiment MRM chromatogram

3.4 基质效应

考察 3 个不同浓度样品的基质效应, 以基质加标溶液峰面积与溶剂标液峰面积之比来评价基质效应, 结果如表 3 所示。结果表明, 苯丙胺和甲基苯丙胺有明显的基质效应, 且通道无干扰, 故本方法采用空白基质提取液作为溶剂配制基质匹配标准曲线。

表 3 基质效应考察
Table 3 Investigation of matrix effect

浓度级别	浓度/(ng/mL)	基质效应因子/%		
		苯丙胺	甲基苯丙胺	氯胺酮
1	0.1	122.0	163.0	85.4
2	1.0	119.4	138.1	93.8
3	10.0	110.9	121.9	97.2

3.5 残留监控

高浓度样品(50 ng/mL)分析完成后,进样分析空白,考察残留情况。结果如图 3 所示。

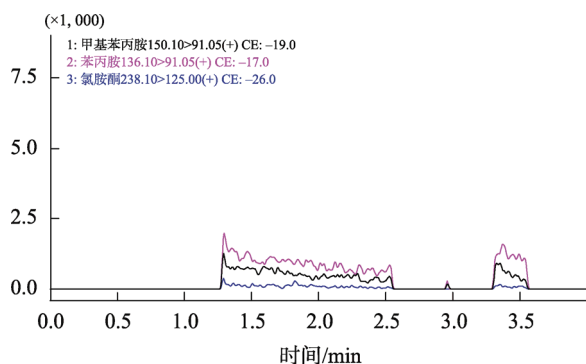


图 3 残留考察
Fig.3 Residual investigation

结果表明,在高浓度样品分析完成后,进样分析空白样品,3 种毒品检测通道中无明显目标化合物干扰。

3.6 线性关系、检出限和定量限

3 种毒品在 0.1~50.0 ng/mL 范围内线性良好,相关系数大于 0.999,校准曲线如图 4 所示。线性方程、相关系数、检出限($S/N=3$, ASTM 方式)和定量限($S/N=10$, ASTM 方式)见表 4。

3.7 精密度实验

对 3 个浓度的混合标准溶液连续 6 次进样,考察仪器的精密度,保留时间和峰面积的精密度结果如表 5 所示。3 个浓度标准品的保留时间和峰面积的相对标准偏差分别在 0.17%~0.35% 和 0.43%~3.97% 之间,仪器精密度良好。

3.8 加标回收实验

在奶茶样品中添加标准溶液,与样品进行相同的前处理,得到 3 个不同浓度的加标样品。按照 2.2 中的分析条件分析,考察样品加标回收率。结果如图 5、图 6 和表 6 所示。奶茶样品中未检出 3 种毒品。3 个不同浓度水平下样品加标回收率在 80.7%~112.0% 之间。GB/T 27404-2008

《实验室质量控制规范食品理化检测》中规定当被测组分含量低于 0.1 mg/kg 时,回收率范围应在 60%~120% 之间,本方法回收率优于标准规定。

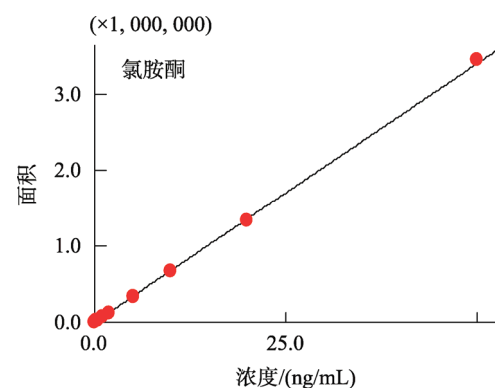
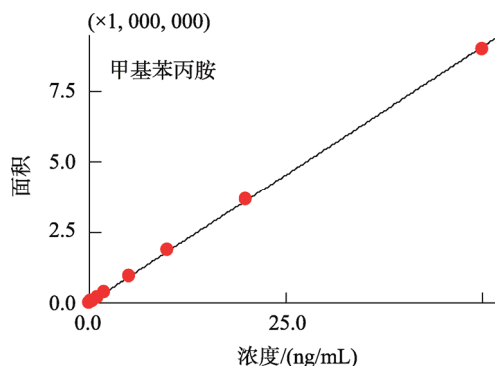
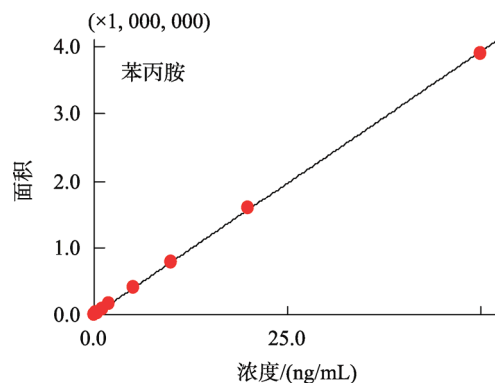


图 4 校准曲线(0.1~50.0 ng/mL)
Fig.4 Calibration curve (0.1~50.0 ng/mL)

表 4 校准曲线参数(线性回归, 权重为 1/C)
Table 4 Calibration curve parameters (linear regression, weight is 1/C)

名称	校准曲线	线性范围/(ng/mL)	准确度/%	相关系数 r	检出限/(ng/mL)	定量限/(ng/mL)
苯丙胺	$Y=78518.1X-754.00$	0.1~50	95.3~103.6	0.9999	0.027	0.089
甲基苯丙胺	$Y=180656X+564.818$	0.1~50	95.9~102.8	0.9999	0.008	0.028
氯胺酮	$Y=68155.6X-1884.05$	0.1~50	96.0~113.0	0.9997	0.016	0.053

表5 精密度结果($n=6$)
Table 5 precision results($n=6$)

名称	相对标准偏差 (0.1 ng/mL)		相对标准偏差 (1.0 ng/mL)		相对标准偏差 (10.0 ng/mL)	
	保留时间/min	峰面积	保留时间/min	峰面积	保留时间/min	峰面积
苯丙胺	0.28	3.97	0.22	2.78	0.18	0.43
甲基苯丙胺	0.23	3.31	0.20	0.93	0.18	0.62
氯胺酮	0.35	3.18	0.19	2.13	0.17	0.50

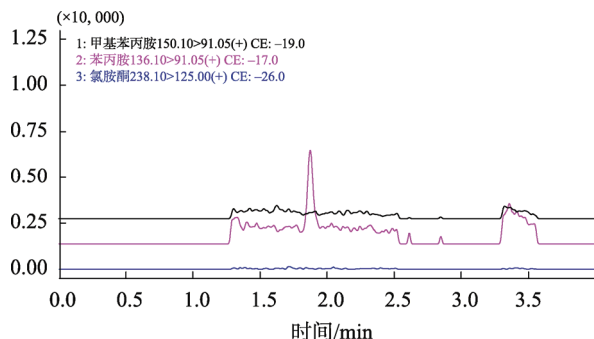


图5 样品 MRM 色谱图
Fig.5 The chromatogram of sample MR

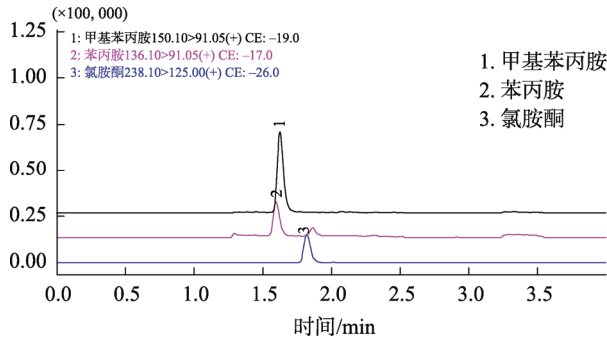


图6 加标样品 MRM 色谱图(1.0 ng/mL)
Fig.6 The chromatogram of spiked sample MRM

表6 样品加标回收率($n=6$)
Table 6 Recoveries of 3compounds in milk tea ($n=6$)

化合物名称	加标回收率		
	(5 μg/kg)/%	(50 μg/kg)/%	(500 μg/kg)/%
苯丙胺	90.0	80.7	93.7
甲基苯丙胺	83.0	83.1	96.9
氯胺酮	112.0	90.2	91.2

4 结 论

本研究建立了超高效液相色谱质谱联用法测定奶茶

中苯丙胺、甲基苯丙胺和氯胺酮的分析方法。样品经甲醇超声提取处理, 4.0 min 内完成上机分析。采用本方法分析市售奶茶样品, 未检出3种毒品。本方法灵敏、快速、选择性好、前处理简单, 适用于奶茶中3种毒品的准确定量检测。

参考文献

- [1] 向平, 卓先义, 沈保华, 等. 生物检材中苯丙胺类兴奋剂和氯胺酮的 LC-MS/MS 分析[J]. 中国法医学杂志, 2006, 21(3): 149–152.
- Xiang P, Zhuo XY, Shen BH, et al. Determination of amphetamines and ketamine in biological specimens by liquid chromatography-tandem mass spectrometry [J]. Chin J Forensic Med, 2006, 21(3): 149–152.
- [2] Du P, Li K, Li J, et al. Methamphetamine and ketamine use in major Chinese cities, a nationwide reconnaissance through sewage-based epidemiology [J]. Water Res, 2015, 84: 76–84.
- [3] Quibell R, Prommer EE, Mihalyo M, et al. Ketamine [J]. J Pain Symptom Manag, 2011, 41(3): 640–649.
- [4] 许庆琴. 大孔径毛细管气相色谱法快速测定饮料中的氯胺酮[J]. 化学研究, 2001, 12(4): 45–46.
- Xu QQ. Determination of ketamine in drink by gas chromatography with bore capillary column [J]. Chem Res, 2001, 12(4): 45–46.
- [5] 梁丽军, 薛锦锋, 田琳琳. 气相色谱内标法测定甲基苯丙胺含量的不确定度评定[J]. 刑事技术, 2016, 41(4): 279–282.
- Liang LJ, Xue JF, Tian LL. Evaluation of uncertainty in determination of methamphetamine by GC with Internal standard method [J]. Forensic Sci Technol, 2016, 41(4): 279–282.
- [6] 宋爱英, 杨晶. 电场促进下的单滴微萃取-气相色谱法测定尿中6种苯丙胺类兴奋剂[J]. 色谱, 2018, 36(8): 803–808.
- Song AY, Yang J. Determination of six amphetamine-type stimulants in urine samples using electro-enhanced single drop microextraction-gas chromatography [J]. Chin J Chromatogr, 2018, 36(8): 803–808.
- [7] 王莹莹, 董浩, 张冯江, 等. 基于超声雾化联用快速气相色谱-声表面波传感器的氯胺酮检测系统[J]. 传感技术学报, 2018, 31(4): 630–634.
- Wang YY, Dong H, Zhang FJ, et al. On-site detection of ketamine using the ultrasonic atomizer combined with a gas chromatography-surface acoustic wave sensor [J]. Chin J Sensor Actuat, 2018, 31(4): 630–634.
- [8] 李宏森, 黄克建, 林翠梧, 等. 顶空固相微萃取与气质联用快速检测尿液中苯丙胺、甲基苯丙胺、MDA 和 MDMA[J]. 广西大学学报, 2007, 23(3): 266–269.
- Li HS, Huang KJ, Lin CV, et al. Rapid simultaneous determination of

- amphetamine, methamphetamine MDA and MDMA in urine using HS/SPME and GC/MS [J]. J Guangxi Univ (Nat Sci Ed), 2007, 23(3): 266–269.
- [9] Malaca S, Rosado T, Restolho J, et al. Determination of amphetamine-type stimulants in urine samples using microextraction by packed sorbent and gas chromatography-mass spectrometry [J]. J Chromatogr B, 2019, 1120: 41–50.
- [10] Matey JM, Moreno MD, Garcia-Ruiz C, et al. A validated GC-MS method for ketamine and norketamine in hair and its use in authentic cases [J]. Forensic Sci Int, 2019, 301: 447–454.
- [11] Wang W, Qiao S, Zhang W, et al. Simultaneous identification and quantification of 9 drugs of opiates, ketamine and amphetamines in human plasma using UPLC-MS/MS for doping control [J]. Chin J Sport Med, 2017, 36(7): 622–627.
- [12] Wang T, Shen BH, Wu HJ, et al. Disappearance of R/S-methamphetamine and R/S-amphetamine from human scalp hair after discontinuation of methamphetamine abuse [J]. Forensic Sci Int, 2018, 284: 153–160.
- [13] Leung KW, Wong ZCF, Ho JYM, et al. Surveillance of drug abuse in hong kong by hair analysis using LC-MS/MS [J]. Drug Test Anal, 2018, 10(6): 977–983.
- [14] 叶海英, 郑水庆, 梁晨, 等. LTQ-Orbitrap 组合式高分辨质谱法快速筛查毛发中 7 种毒品及代谢物[J]. 分析化学, 2012, 40(11): 1674–1679.
- Ye HY, Zheng SQ, Liang C, et al. Analysis of seven drugs in human hair by hybrid linear ion trap/orbitrap mass spectrometry [J]. Chin J Anal Chem, 2012, 40(11): 1674–1679.
- [15] 刘春叶, 王喆, 冯佳铭, 等. 污水流行病学调查辽宁和吉林两省甲基苯丙胺滥用量和流行率[J]. 环境化学, 2018, 37(8): 1763–1769.
- Liu CY, Wang Z, Feng JM, et al. Methamphetamine consumption and prevalence in Liaoning and Jilin provinces investigated by sewage epidemiology [J]. Environ Chem, 2018, 37(8): 1763–1769.
- [16] 张华方, 杨军, 杜鹏, 等. 北京水环境中氯胺酮和去甲氯胺酮的浓度水平[J]. 环境科学, 2016, 37(7): 2522–2529.
- Zhang HF, Yang J, Du P, et al. Concentrations of ketamine and norketamine in the water environment in Beijing [J]. Environ Sci, 2016, 37(7): 2522–2529.

(责任编辑: 王欣)

作者简介



余晓琴, 博士, 高级工程师, 主要研究方向为食品安全分析检测与标准研究。

E-mail: 113343838@qq.com